

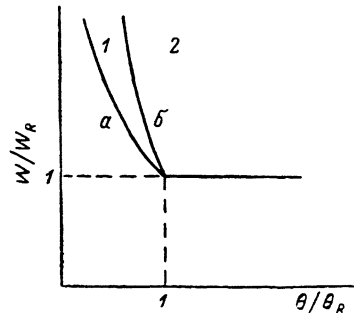
нения неравновесных фононов становятся порядка единицы. При этом процессы слияния фононов становятся столь же вероятными, как и распад. Формируется горячее фононное пятно, а устанавливаемая в нем температура определяется из условия

$$n(\omega_T) = 1, \quad T = \hbar\omega_T/a.$$

Результаты расчета можно представить в виде графика (см. рисунок). В области 1 температура устанавливается после окончания накачки до диффузионного расширения возбужденной области в момент времени, удовлетворяющий неравенству  $\theta < t_0 < \theta_R$ . Температура горячего пятна равна  $T = T_R (W\theta/W_R\theta_R)^{1/4}$ ,  $T_R = \hbar\omega_R/a$ , где  $W_R = d\varepsilon(T_R)/\theta_R$ ,  $\varepsilon(T)$  — плотность энергии планковского распределения. Значение частоты  $\omega_R$  можно получить из вы-

---

Область 1 ограничена кривыми  $W/W_R = (\theta/\theta_R)^{-1}$   
(a) и  $W/W_R = (\theta/\theta_R)^{-9/4}$  (b). Температура устанавливается после окончания действия светового импульса. Область 2 ограничена кривой (b) и прямой  $W/W_R = 1$ . Температура устанавливается до окончания действия светового импульса.



ражений (2), (4):  $\omega_R = \omega_D [l(\omega_D)/R]^{1/2}$ ,  $l(\omega_D) = v/\omega_D (3\gamma_1)^{1/2}$ . В области 2 температура устанавливается до окончания накачки  $t_0 < \theta$ ,  $\theta_R T = T_R (W/W_R)^{1/4}$ .

Полученные результаты верны в том случае, если условия (1) и (3) выполняются для любой актуальной частоты  $\omega$ , вплоть до значений  $\omega_T$ . Как было показано в работе [3], условие  $d > v\tau^*(\omega_T)$  определяет при формировании горячего пятна один из режимов теплопереноса, при котором пространственный перенос энергии осуществляется под тепловыми фононами.

С момента времени, когда плотность энергии начинает существенно падать из-за пространственного расширения горячего пятна, температура будет уменьшаться до значения  $T_K$ , при котором длина свободного пробега станет порядка размеров горячего пятна. Затем планковское распределение разрушается и фононы распространяются независимо, имея среднюю частоту  $\omega_K \sim T_K/\hbar$ . Температура  $T_K$  определяется равенством  $E/\pi l^2(\omega_{T_K}) = d\varepsilon(T_K)$ .

#### Список литературы

- [1] Казаковцев Д. В., Левинсон И. Б. // ЖЭТФ. 1985. Т. 88. № 6. С. 2228—2243.
- [2] Kazakovtsev D. V., Levinson I. B. // Phys. St. Sol. (b). 1979. V. 96. N 1. P. 117—127.
- [3] Гусейнов Н. М. // ФТТ. 1988. Т. 30. № 11. С. 3448—3454.

Институт физики АН АзССР  
Баку

Поступило в Редакцию  
13 июля 1989 г.  
В окончательной редакции  
9 ноября 1989 г.

УДК 538.221

© Физика твердого тела, том 32, № 4, 1990  
Solid State Physics, vol. 32, N 4, 1990

## СКОРОСТЬ НАСЫЩЕНИЯ СКРУЧЕННОЙ ДОМЕННОЙ ГРАНИЦЫ В МОДЕЛИ СЛОНЧЕВСКОГО

E. E. Котова, B. M. Четвериков

К настоящему времени практически для всех ЦМД материалов экспериментально обнаружено явление насыщения скорости ДГ, т. е. независимость скорости от поля смещения  $H_z$  при значениях, превышающих неко-

торое критическое значение [1, 2]. В работе [3] приведены интересные экспериментальные результаты, свидетельствующие о том, что в широком диапазоне параметров ЦМД пленки (фактор качества  $Q$ , толщина пленки  $h$ , постоянная затухания  $\alpha$ ) безразмерная скорость насыщения  $v_s$  зависит только от одного параметра  $\alpha$ , причем эта зависимость линейная.

Различные упрощенные теоретические модели, базирующиеся на системе уравнений Слончевского, приводили к разным, не зависящим от  $\alpha$ , скоростям насыщения ДГ [1, 4]. В данной работе обсуждаются результаты численного анализа уравнений Слончевского. Оказывается, что эта модель в некоторой области параметров  $Q$ ,  $h$ ,  $\alpha$  приводит к однозначному определению скорости насыщения, зависящей от  $\alpha$ . При этом режим насыщения скорости соответствует состоянию детерминированного хаоса [5], что никак не отражалось в упрощенных моделях. По-видимому, впервые

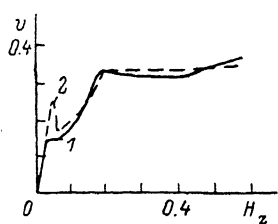


Рис. 1. Зависимость скорости от  $H_z$  при  $\epsilon=0.1$ ,  $\alpha=0.2$ ,  $h=4$ ,  $H_x=0$  (1) и  $0.08$  (2).

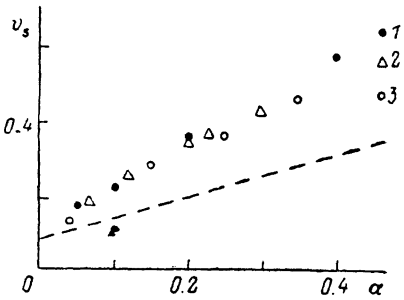


Рис. 2. Зависимость скорости насыщения от  $\alpha$ .  
 $\epsilon, h$ : 1 — 0.1, 4; 2 — 0.1, 8; 3 — 0.03, 4.

на возможность хаотического поведения плоской ДГ (в уравнениях Слончевского отсутствуют пространственные производные и поле размагничивания, определяющее скрученность ДГ) в градиентном поле и в переменном поле смещения было обращено внимание в работе [6].

В данной работе рассматривается система уравнений, описывающая почти плоскую ДГ  $y=q(z, t)$  в ферромагнитной пленке, заполняющей слой  $z \in [0, h]$ . В безразмерных переменных эта система и граничные условия имеют вид [7]

$$\begin{aligned} \alpha \dot{q} + \epsilon \dot{\varphi} &= \frac{1}{2} q_{zz} + H_z, \\ -\dot{q} + \alpha \epsilon \dot{\varphi} &= \frac{\epsilon}{2} \varphi_{zz} - \frac{1}{2} \sin 2\varphi - \frac{\pi}{2} H \times \sin \varphi + \frac{\pi}{2} H_y(z) \cos \varphi, \end{aligned} \quad (1)$$

$$q_z|_{z=0} = q_z|_{z=h} = G_z|_{z=0} = G_z|_{z=h} = 0.$$

Здесь  $q(z, t)$  и  $z$  нормированы на характеристическую длину;  $\varphi(z, t)$  — азимутальный угол намагниченности в центре ДГ;  $\epsilon=(2Q)^{-1}$  — малый параметр;  $t$  — время, нормированное на  $(4\pi M\gamma)^{-1} \cdot 2Q$ , где  $M$  — намагниченность насыщения, а  $\gamma$  — гиромагнитное отношение;  $H_x$ ,  $H_z$  — компоненты внешнего магнитного поля, а  $H_y(z)$  — компонента нелокального размагничивающего поля, вызванного поверхностным распределением магнитных зарядов и обусловливающая так называемую скрученность ДГ. Магнитное поле нормировано на  $4\pi M$ ,

$$H_y(z) = \frac{1}{\pi} \ln \frac{z + 0.4\epsilon}{h - z + 0.4\epsilon}. \quad (2)$$

Обозначим через  $\bar{q}$  и  $\bar{\varphi}$  усредненные по толщине пленки значения  $q$  и  $\varphi$ . Будем называть скоростью ДГ  $v$  среднее по времени значение  $\dot{q}$ , а сглаженной мгновенной скоростью — величину  $v_i(t)=(\bar{q}(t+5\tau)-\bar{q}(t-5\tau))/10\tau$ , где  $\tau$  — шаг по времени в использованной разностной схеме. Как видно из рис. 1, можно выделить три характерные области значений  $H_z$ : 1) об-

ласть  $0 < H_z < H_1$ , в которой ДГ движется стационарно,  $\dot{\phi} = 0$ ,  $\dot{q} = H_z/\alpha$ ; 2) область насыщения  $H_2 < H_z < H_3$ , где  $v = v_s$ ; 3) находящуюся между ними переходную область  $H_1 < H_z < H_2$ , в которой  $\dot{q}$  меняется периодически.

Сравнение скоростей насыщения  $v_s$  в области  $\alpha \leq 0.4$  при различных  $\epsilon$  и  $h$  (рис. 2) показывает, что  $v_s$  линейно зависит от  $\alpha$ , но практически не зависит от  $\epsilon$  и  $h$ . На рис. 2 (штрихи) приведена также зависимость  $v_s(\alpha)$  в соответствии с эмпирической формулой  $v_s = (4\pi)^{-1}(1 + 6.9\alpha)$  работы [3], полученной на основании анализа различных экспериментов.

Такое уменьшение числа значащих параметров в области насыщения скорости является следствием качественно иной динамики. Периодическое во времени изменение функций  $\dot{q}$  и  $\dot{\phi}$  при  $H_1 < H_z < H_2$  сменяется детерминированным хаосом при  $H_2 < H_z < H_3$ . Об этом свидетельствует наблюдение за  $\dot{q}$  и  $\dot{\phi}$  (поскольку из первого уравнения (1) следует линейная связь между  $\dot{q}$  и  $\dot{\phi}$ , то можно ограничиться одной из них, например  $\dot{q}$ ). На рис. 3 приведены графики слаженной мгновенной скорости  $v_i(t)$ . Кривая 1 соответствует  $H_z = 0.16 < H_2$ . Налицо периодическое движение с ярко выраженным дискретным спектром, содержащим несколько гармоник, и неубывающей корреляционной функцией. Кривая 2 соответствует

области насыщения  $H_z = 0.50 > H_2$ . Корреляционная функция для  $v_i(t)$  в этой области быстро убывает, спектр значительно шире, чем для кривой 1, амплитуды многих гармоник оказываются сравнимыми между собой. Динамика  $v_i(t)$  имеет непериодический характер, а отображение последовательных максимумов  $M_n$  функции  $v_i(t)$  на плоскость  $(M_n, M_{n+1})$  не ложится ни на какую одномерную кривую. Это указывает на то, что структура аттрактора в области насыщения не описывается одномерным отображением Пуанкаре. Похожая картина отображения максимумов реализуется в некоторой области параметров для комплексного уравнения Гинзбурга—Ландау [8]. Приведенные выше результаты остаются принципиально неизменными при использовании вместо (2) выражения для  $H_y(z)$ , применяемого в работе [9], продолжающей исследования Мак-Нила и Хамфри [10].

При  $\epsilon = 0.1$ ,  $h = 4$  для значений  $\alpha \geq 0.5$  эффекта насыщения не наблюдается и скорость продолжает нарастать с увеличением  $H_z$ .

Подчеркнем, что выход скорости на насыщение в нашем случае не связан ни с каким новым механизмом взаимодействия ДГ (со спиновыми и упругими волнами, дислокациями и т. п.), а определяется лишь качественно иной динамикой ДГ, носящей условное название детерминированный хаос.

К сожалению, ограниченность рассмотренных пространственно-одномерных уравнений Слончевского не позволяет численно проанализировать наблюдаемые в последнее время диссипативные структуры на ДГ [11–14].

Авторы пользуются случаем выразить благодарность Э. Б. Сонину, В. А. Бокову, В. В. Волкову за плодотворную дискуссию.

#### Список литературы

- [1] Балбашов А. М., Лисовский Ф. В., Раев В. К. и др. Элементы и устройства национальных магнитных доменах: Справочник / Под ред. Н. Н. Евтихиева, Б. Н. Наумова. М., 1987. 488 с.
- [2] Четкин М. В., Смирнов В. Б., Попков А. Ф., Парыгина И. В., Звездин А. К., Гомонов С. В. // ЖЭТФ. 1988. Т. 94. № 11. С. 164–172.

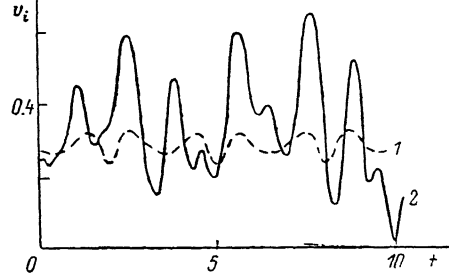


Рис. 3. Зависимость  $v_i(t)$  при  $H_z = 0.16$  (1) и  $0.50$  (2).  $\epsilon = 0.1$ ,  $h = 4$ .

- [3] Волков В. В., Боков В. А., Карпович В. И. // ФТТ. 1982. Т. 24. № 8. С. 2318—2324.
- [4] Малоземов А., Слонзуски Дж. Доменные спинки в материалах с цилиндрическими магнитными доменами. М., 1982. 382 с.
- [5] Шустер Г. Детерминированный хаос: Введение. М., 1988. 240 с.
- [6] Звездин А. К., Кулагин Н. Е., Редько В. Г. // ФММ. 1978. Т. 45. № 3. С. 497—506.
- [7] Маслов В. П., Четвериков В. М. // ЖЭТФ. 1988. Т. 94. № 8. С. 270—280.
- [8] Ахромеева Т. С., Курдюмов С. П., Малинецкий Г. Г., Самарский А. А. // Итоги науки и техники. Современные проблемы математики. Новейшие достижения. М., 1987. Т. 28. С. 207—313.
- [9] Антонов Л. И., Жукарев А. С., Матвеев А. Н., Поляков П. А. // ФММ. 1987. Т. 64. № 5. С. 873—878.
- [10] McNeal B., Humphrey F. // IEEE Trans. Magn. 1979. V. 15. N 5. P. 1272—1284.
- [11] Suzuki T., Gal L., Mackawa S. // Jpn. J. Appl. Phys. 1980. V. 19. N 4. P. 627—637.
- [12] Kleparski V. G., Pinter I., Zimmer C. J. // IEEE Trans. Magn. 1981. V. 17. N 6. P. 2775—2777.
- [13] Логунов М. В., Рандошкин В. В. // ЖТФ. 1988. Т. 58. № 6. С. 1237—1238.
- [14] Четкин М. В., Звездин А. К., Годецкий С. Н., Гомонов С. В., Смирнов В. Г., Кубатов Ю. И. // ЖЭТФ. 1988. Т. 94. № 1. С. 269—279.

Московский  
институт электронного машиностроения  
Москва

Поступило в Редакцию  
17 июля 1989 г.  
В окончательной редакции  
28 ноября 1989 г.

---